

### Eingabe: Farbmimetrisches Reflexions-System MRS18

für Buntton  $h^* = lab^*h = 30/360 = 0.083$

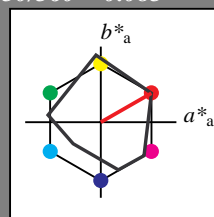
$lab^*tch$  und  $lab^*nch$

D65: Buntton R

LCH\*Ma: 50 77 30

rgb\*Ma: 1.0 0.0 0.0

Dreiecks-Helligkeit  $t^*$



#### MRS18; adaptierte CIELAB-Daten

	$L^*=L_a^*$	$a_a^*$	$b_a^*$	$C_{ab,a}^*$	$h_{ab,a}^*$
RMa	49.63	66.96	38.37	77.18	30
JMa	90.7	-6.36	88.75	88.98	94
GMa	52.11	-69.73	9.44	70.37	172
G50BMa	45.03	-36.57	-28.47	46.36	218
BMa	36.65	23.19	-63.05	67.18	290
B50RMa	34.94	57.17	-44.26	72.31	322
NMa	18.01	0.0	0.0	0.0	0
WMa	95.41	0.0	0.0	0.0	0
RCIE	39.92	58.66	26.98	64.56	25
JCIE	81.26	-2.17	67.76	67.79	92
GCIE	52.23	-42.26	11.75	43.87	164
BCIE	30.57	1.15	-46.84	46.87	271

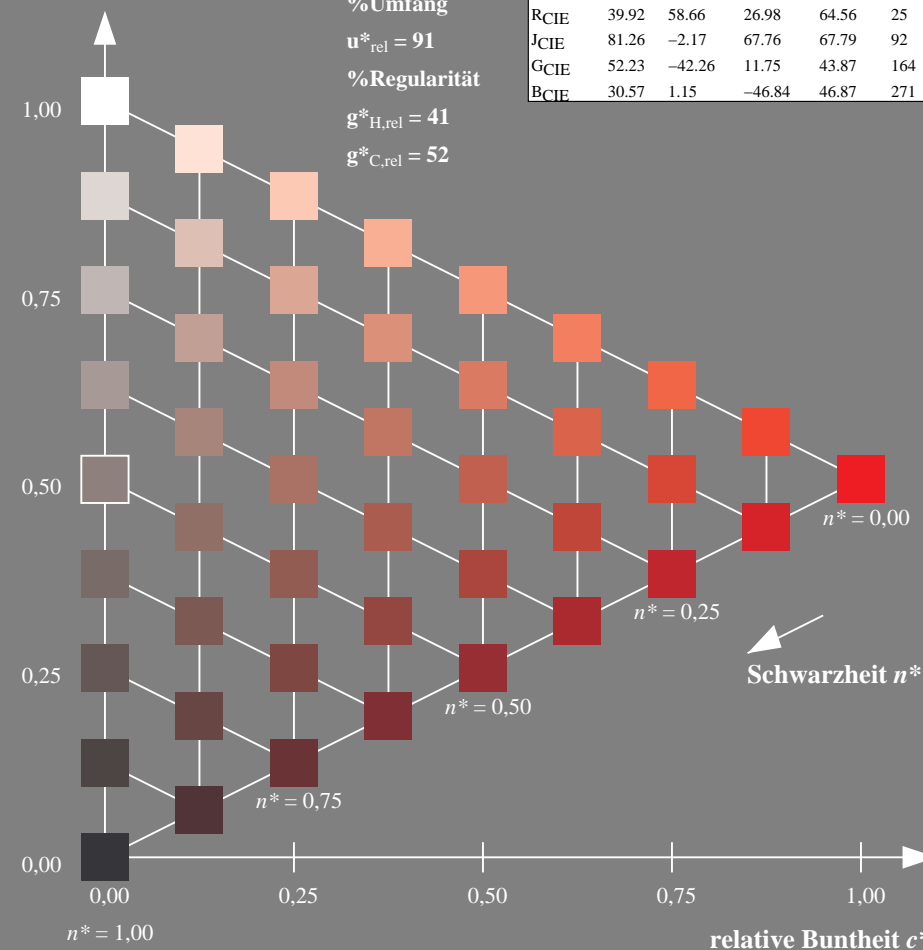
%Umfang

$u_{rel}^* = 91$

%Regularität

$g_{H,rel}^* = 41$

$g_{C,rel}^* = 52$



UG730-7, 9stufige Reihen für konstanten CIELAB Buntton 30/360 = 0.083 (links)

BAM-Prüfvorlage UG73; Farbmimetrik-Systeme MRS18 & NCS11  
D65: 9 und 16stufige Farbreihen für 10 Bunttöne

### Ausgabe: Farbmimetrisches Reflexions-System NCS11

für Buntton  $h^* = lab^*h = 24/360 = 0.066$

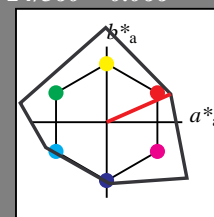
$lab^*tch$  und  $lab^*nch$

D65: Buntton R

LCH\*Ma: 47 92 24

rgb\*Ma: 1.0 0.0 0.0

Dreiecks-Helligkeit  $t^*$



#### NCS11; adaptierte CIELAB-Daten

	$L^*=L_a^*$	$a_a^*$	$b_a^*$	$C_{ab,a}^*$	$h_{ab,a}^*$
RMa	47.15	84.64	37.25	92.48	24
JMa	91.37	-1.27	125.03	125.03	91
GMa	63.07	-114.28	25.35	117.06	167
G50BMa	59.47	-80.6	-33.45	87.28	203
BMa	49.01	3.65	-81.19	81.28	273
B50RMa	44.06	106.09	-73.93	129.32	325
NMa	10.99	0.0	0.0	0.0	0
WMa	95.41	0.0	0.0	0.0	0
RCIE	39.92	58.69	27.98	65.01	25
JCIE	81.26	-2.9	71.56	71.62	92
GCIE	52.23	-42.45	13.59	44.59	162
BCIE	30.57	1.35	-46.48	46.51	272

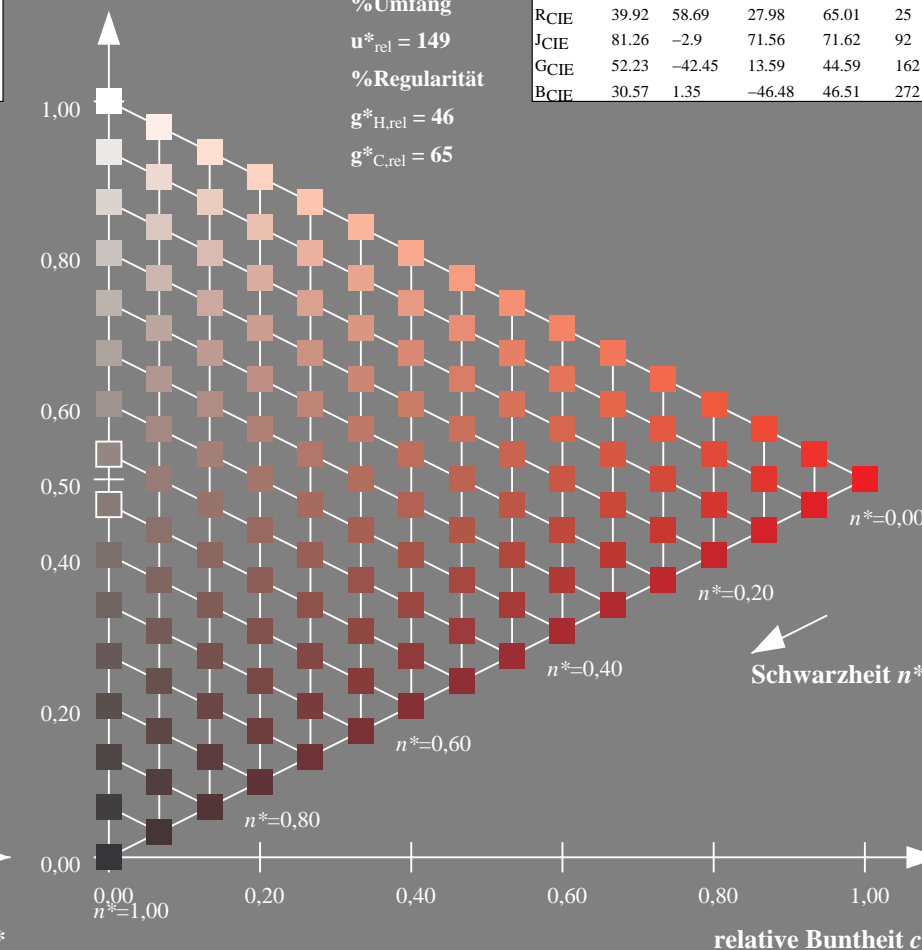
%Umfang

$u_{rel}^* = 149$

%Regularität

$g_{H,rel}^* = 46$

$g_{C,rel}^* = 65$



16stufige Reihen für konstanten CIELAB Buntton 24/360 = 0.066 (rechts)

input:  $cmY0^*$  set  $cmYcolor$   
output: no change compared to input

### Eingabe: Farbmétrisches Reflexions-System MRS18

für Buntton  $h^* = lab^*h = 94/360 = 0.261$

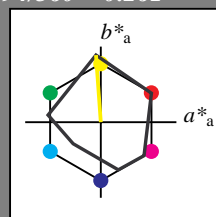
$lab^*tch$  und  $lab^*nch$

D65: Buntton J

LCH\*Ma: 91 89 94

rgb\*Ma: 1.0 1.0 0.0

Dreiecks-Helligkeit  $t^*$



MRS18; adaptierte CIELAB-Daten					
	$L^*=L_a^*$	$a_a^*$	$b_a^*$	$C_{ab,a}^*$	$h_{ab,a}^*$
RMa	49.63	66.96	38.37	77.18	30
JMa	90.7	-6.36	88.75	88.98	94
GMa	52.11	-69.73	9.44	70.37	172
G50B <sub>Ma</sub>	45.03	-36.57	-28.47	46.36	218
B <sub>Ma</sub>	36.65	23.19	-63.05	67.18	290
B50R <sub>Ma</sub>	34.94	57.17	-44.26	72.31	322
N <sub>Ma</sub>	18.01	0.0	0.0	0.0	0
W <sub>Ma</sub>	95.41	0.0	0.0	0.0	0
RCIE	39.92	58.66	26.98	64.56	25
JCIE	81.26	-2.17	67.76	67.79	92
GCIE	52.23	-42.26	11.75	43.87	164
BCIE	30.57	1.15	-46.84	46.87	271

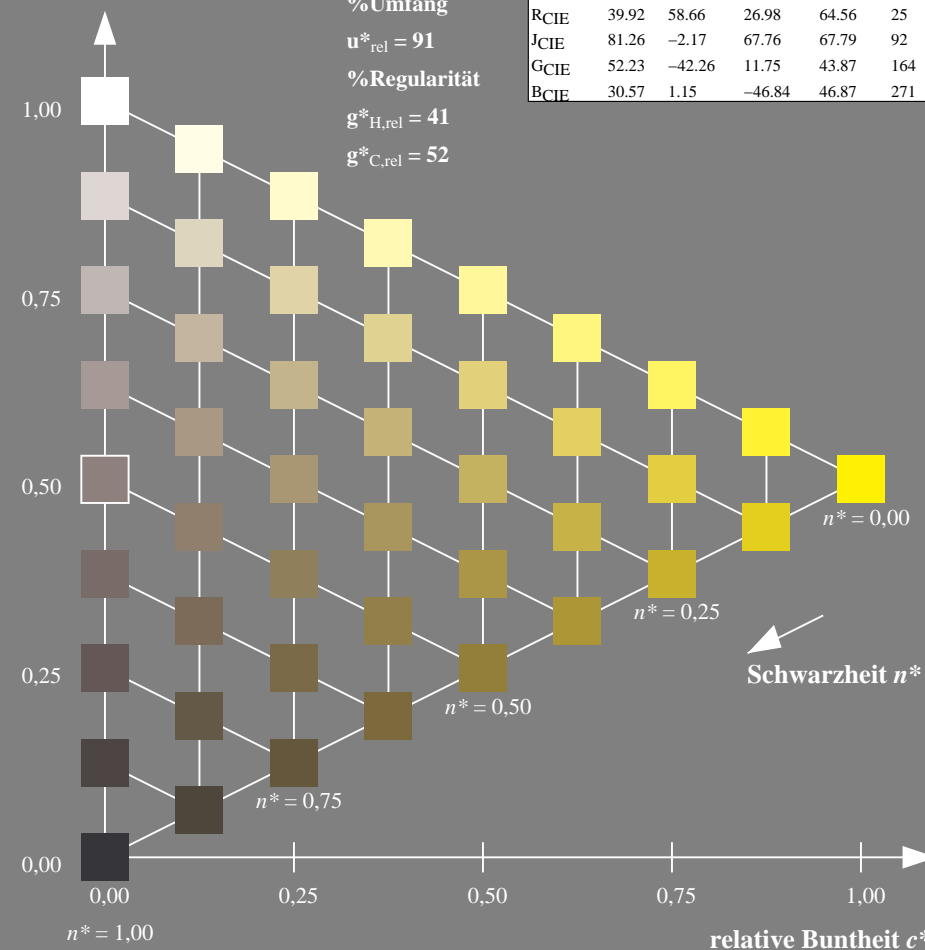
%Umfang

$u_{rel}^* = 91$

%Regularität

$g_{H,rel}^* = 41$

$g_{C,rel}^* = 52$



UG730-7, 9stufige Reihen für konstanten CIELAB Buntton 94/360 = 0.261 (links)

BAM-Prüfvorlage UG73; Farbmétrik-Systeme MRS18 & NCS11  
D65: 9 und 16stufige Farbreihen für 10 Bunttöne

### Ausgabe: Farbmétrisches Reflexions-System NCS11

für Buntton  $h^* = lab^*h = 91/360 = 0.252$

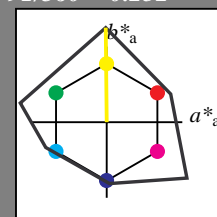
$lab^*tch$  und  $lab^*nch$

D65: Buntton J

LCH\*Ma: 91 125 91

rgb\*Ma: 1.0 1.0 0.0

Dreiecks-Helligkeit  $t^*$



NCS11; adaptierte CIELAB-Daten					
	$L^*=L_a^*$	$a_a^*$	$b_a^*$	$C_{ab,a}^*$	$h_{ab,a}^*$
RMa	47.15	84.64	37.25	92.48	24
JMa	91.37	-1.27	125.03	125.03	91
GMa	63.07	-114.28	25.35	117.06	167
G50B <sub>Ma</sub>	59.47	-80.6	-33.45	87.28	203
B <sub>Ma</sub>	49.01	3.65	-81.19	81.28	273
B50R <sub>Ma</sub>	44.06	106.09	-73.93	129.32	325
N <sub>Ma</sub>	10.99	0.0	0.0	0.0	0
W <sub>Ma</sub>	95.41	0.0	0.0	0.0	0
RCIE	39.92	58.69	27.98	65.01	25
JCIE	81.26	-2.9	71.56	71.62	92
GCIE	52.23	-42.45	13.59	44.59	162
BCIE	30.57	1.35	-46.48	46.51	272

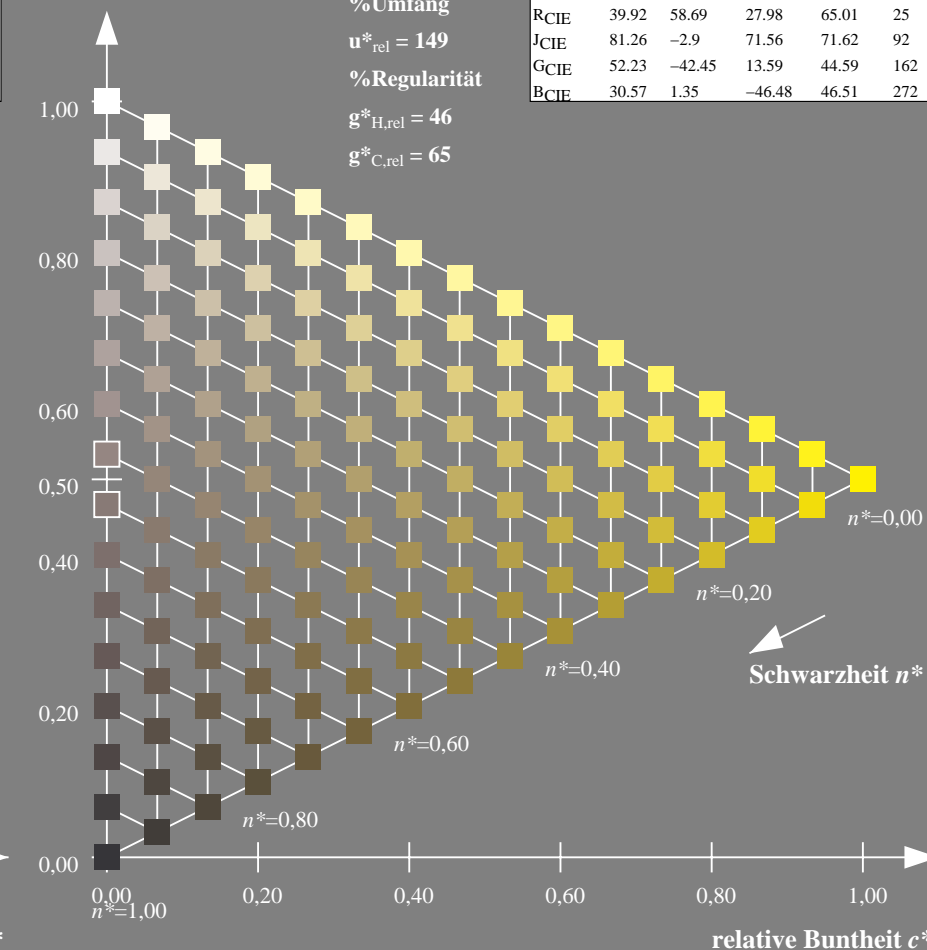
%Umfang

$u_{rel}^* = 149$

%Regularität

$g_{H,rel}^* = 46$

$g_{C,rel}^* = 65$



16stufige Reihen für konstanten CIELAB Buntton 91/360 = 0.252 (rechts)

input:  $cmY0^*$  set  $cmYcolor$   
output: no change compared to input

### Eingabe: Farbmétrisches Reflexions-System MRS18

für Buntton  $h^* = lab^*h = 172/360 = 0.479$

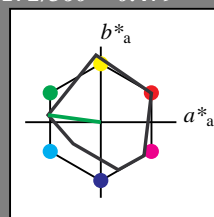
$lab^*tch$  und  $lab^*nch$

D65: Buntton G

LCH\*Ma: 52 70 172

rgb\*Ma: 0.0 1.0 0.0

Dreiecks-Helligkeit  $t^*$



MRS18; adaptierte CIELAB-Daten					
	$L^*=L_a^*$	$a_a^*$	$b_a^*$	$C_{ab,a}^*$	$h_{ab,a}^*$
RMa	49.63	66.96	38.37	77.18	30
JMa	90.7	-6.36	88.75	88.98	94
GMa	52.11	-69.73	9.44	70.37	172
G50BMa	45.03	-36.57	-28.47	46.36	218
BMa	36.65	23.19	-63.05	67.18	290
B50RMa	34.94	57.17	-44.26	72.31	322
NMa	18.01	0.0	0.0	0.0	0
WMa	95.41	0.0	0.0	0.0	0
RCIE	39.92	58.66	26.98	64.56	25
JCIE	81.26	-2.17	67.76	67.79	92
GCIE	52.23	-42.26	11.75	43.87	164
BCIE	30.57	1.15	-46.84	46.87	271

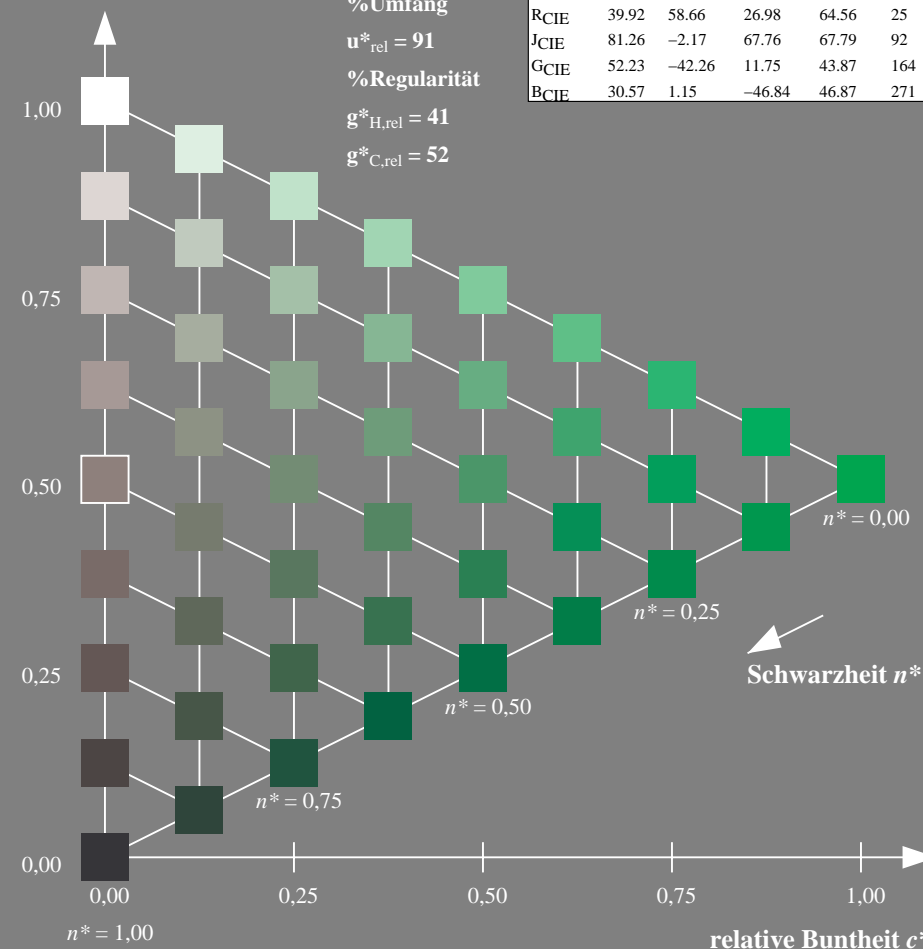
%Umfang

$u_{rel}^* = 91$

%Regularität

$g_{H,rel}^* = 41$

$g_{C,rel}^* = 52$



UG730-7, 9stufige Reihen für konstanten CIELAB Buntton 172/360 = 0.479 (links)

BAM-Prüfvorlage UG73; Farbmétrik-Systeme MRS18 & NCS11  
D65: 9 und 16stufige Farbreihen für 10 Bunttöne

### Ausgabe: Farbmétrisches Reflexions-System NCS11

für Buntton  $h^* = lab^*h = 167/360 = 0.465$

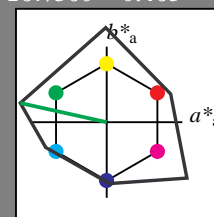
$lab^*tch$  und  $lab^*nch$

D65: Buntton G

LCH\*Ma: 63 117 167

rgb\*Ma: 0.0 1.0 0.0

Dreiecks-Helligkeit  $t^*$



NCS11; adaptierte CIELAB-Daten					
	$L^*=L_a^*$	$a_a^*$	$b_a^*$	$C_{ab,a}^*$	$h_{ab,a}^*$
RMa	47.15	84.64	37.25	92.48	24
JMa	91.37	-1.27	125.03	125.03	91
GMa	63.07	-114.28	25.35	117.06	167
G50BMa	59.47	-80.6	-33.45	87.28	203
BMa	49.01	3.65	-81.19	81.28	273
B50RMa	44.06	106.09	-73.93	129.32	325
NMa	10.99	0.0	0.0	0.0	0
WMa	95.41	0.0	0.0	0.0	0
RCIE	39.92	58.69	27.98	65.01	25
JCIE	81.26	-2.9	71.56	71.62	92
GCIE	52.23	-42.45	13.59	44.59	162
BCIE	30.57	1.35	-46.48	46.51	272

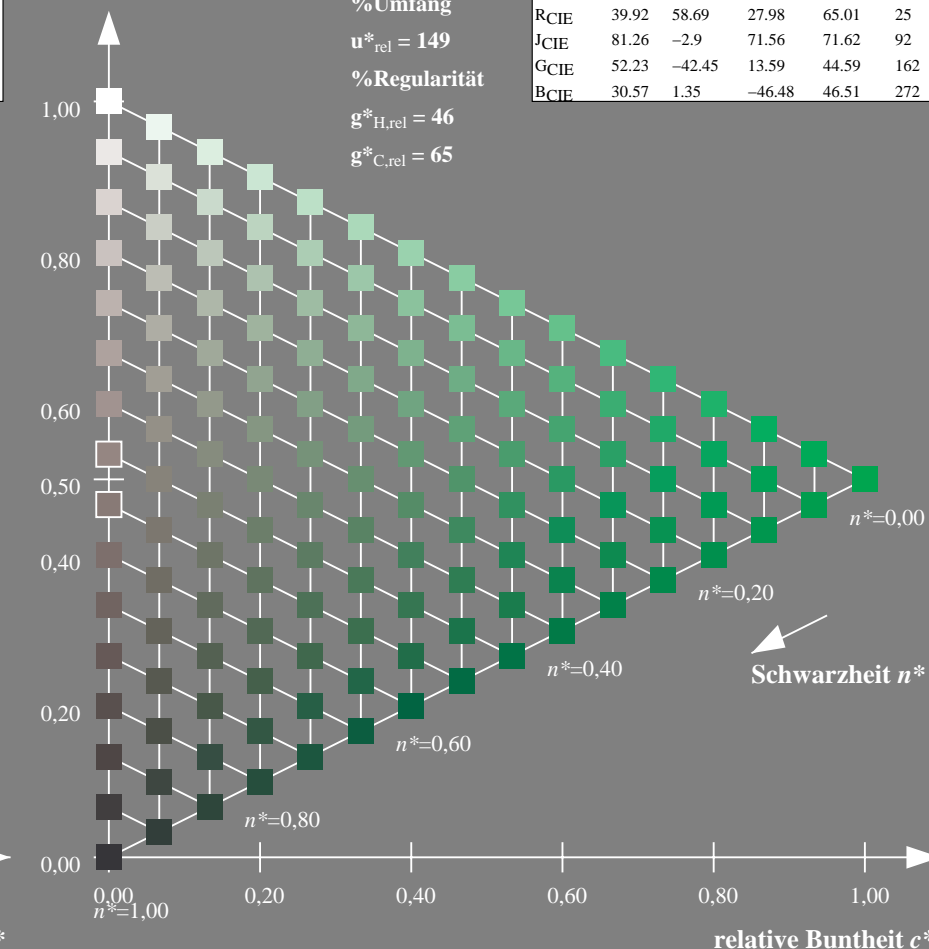
%Umfang

$u_{rel}^* = 149$

%Regularität

$g_{H,rel}^* = 46$

$g_{C,rel}^* = 65$



16stufige Reihen für konstanten CIELAB Buntton 167/360 = 0.465 (rechts)

input:  $cmy0^*$  setcmykcolor  
output: no change compared to input

### Eingabe: Farbmétrisches Reflexions-System MRS18

für Buntton  $h^* = lab^*h = 218/360 = 0.605$

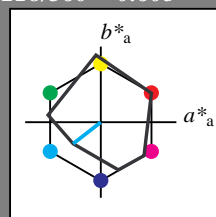
$lab^*tch$  und  $lab^*nch$

D65: Buntton G50B

LCH\*Ma: 45 46 218

rgb\*Ma: 0.0 1.0 1.0

Dreiecks-Helligkeit  $t^*$



MRS18; adaptierte CIELAB-Daten					
	$L^*=L_a^*$	$a_a^*$	$b_a^*$	$C_{ab,a}^*$	$h_{ab,a}^*$
RMa	49.63	66.96	38.37	77.18	30
JMa	90.7	-6.36	88.75	88.98	94
GMa	52.11	-69.73	9.44	70.37	172
G50B <sub>Ma</sub>	45.03	-36.57	-28.47	46.36	218
B <sub>Ma</sub>	36.65	23.19	-63.05	67.18	290
B50R <sub>Ma</sub>	34.94	57.17	-44.26	72.31	322
N <sub>Ma</sub>	18.01	0.0	0.0	0.0	0
W <sub>Ma</sub>	95.41	0.0	0.0	0.0	0
RCIE	39.92	58.66	26.98	64.56	25
JCIE	81.26	-2.17	67.76	67.79	92
GCIE	52.23	-42.26	11.75	43.87	164
BCIE	30.57	1.15	-46.84	46.87	271

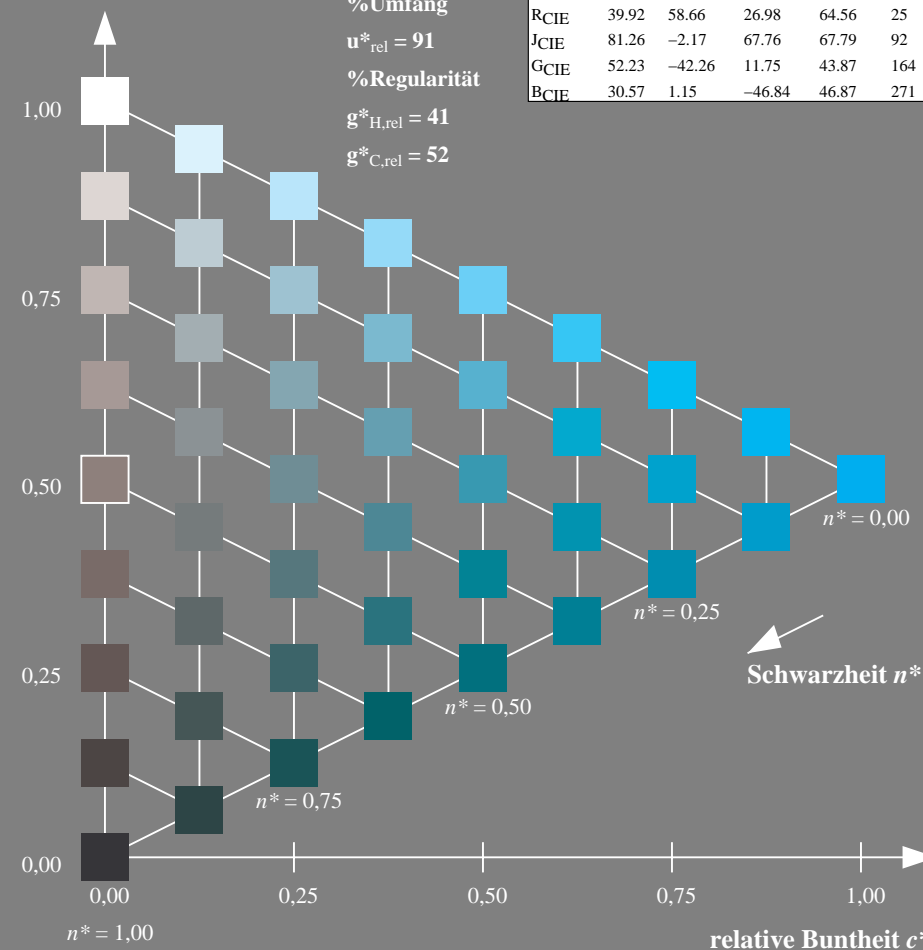
%Umfang

$u_{rel}^* = 91$

%Regularität

$g_{H,rel}^* = 41$

$g_{C,rel}^* = 52$



### Ausgabe: Farbmétrisches Reflexions-System NCS11

für Buntton  $h^* = lab^*h = 203/360 = 0.563$

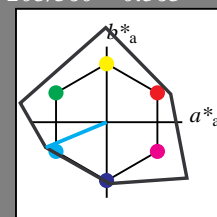
$lab^*tch$  und  $lab^*nch$

D65: Buntton G50B

LCH\*Ma: 59 87 203

rgb\*Ma: 0.0 1.0 1.0

Dreiecks-Helligkeit  $t^*$



NCS11; adaptierte CIELAB-Daten					
	$L^*=L_a^*$	$a_a^*$	$b_a^*$	$C_{ab,a}^*$	$h_{ab,a}^*$
RMa	47.15	84.64	37.25	92.48	24
JMa	91.37	-1.27	125.03	125.03	91
GMa	63.07	-114.28	25.35	117.06	167
G50B <sub>Ma</sub>	59.47	-80.6	-33.45	87.28	203
B <sub>Ma</sub>	49.01	3.65	-81.19	81.28	273
B50R <sub>Ma</sub>	44.06	106.09	-73.93	129.32	325
N <sub>Ma</sub>	10.99	0.0	0.0	0.0	0
W <sub>Ma</sub>	95.41	0.0	0.0	0.0	0
RCIE	39.92	58.69	27.98	65.01	25
JCIE	81.26	-2.9	71.56	71.62	92
GCIE	52.23	-42.45	13.59	44.59	162
BCIE	30.57	1.35	-46.48	46.51	272

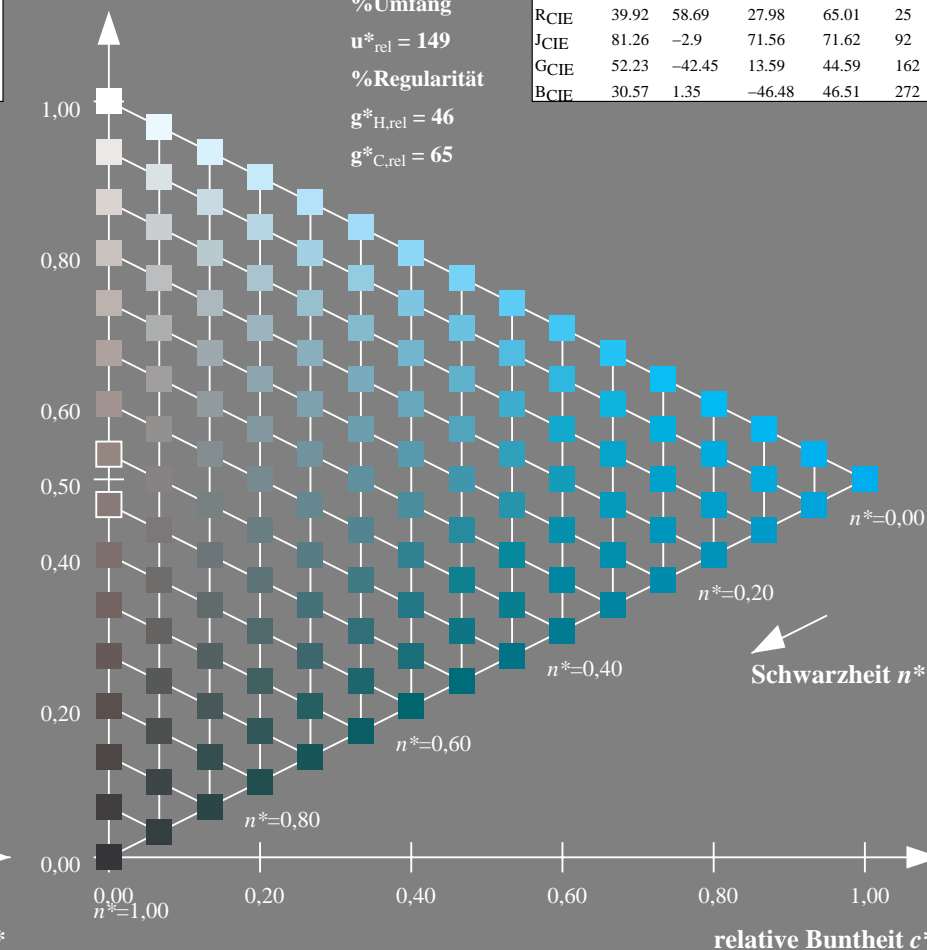
%Umfang

$u_{rel}^* = 149$

%Regularität

$g_{H,rel}^* = 46$

$g_{C,rel}^* = 65$



UG730-7, 9stufige Reihen für konstanten CIELAB Buntton 218/360 = 0.605 (links)

16stufige Reihen für konstanten CIELAB Buntton 203/360 = 0.563 (rechts)

BAM-Prüfvorlage UG73; Farbmétrik-Systeme MRS18 & NCS11

D65: 9 und 16stufige Farbreihen für 10 Bunttöne

input:  $cmY0^*$  setcmykcolor

output: no change compared to input

### Eingabe: Farbmimetrisches Reflexions-System MRS18

für Buntton  $h^* = lab^*h = 290/360 = 0.806$

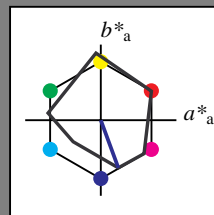
$lab^*tch$  und  $lab^*nch$

D65: Buntton B

LCH\*Ma: 37 67 290

rgb\*Ma: 0.0 0.0 1.0

Dreiecks-Helligkeit  $t^*$



MRS18; adaptierte CIELAB-Daten					
	$L^*=L^*_a$	$a^*_a$	$b^*_a$	$C^*_{ab,a}$	$h^*_{ab,a}$
RMa	49.63	66.96	38.37	77.18	30
JMa	90.7	-6.36	88.75	88.98	94
GMa	52.11	-69.73	9.44	70.37	172
G50BMa	45.03	-36.57	-28.47	46.36	218
BMa	36.65	23.19	-63.05	67.18	290
B50RMa	34.94	57.17	-44.26	72.31	322
NMa	18.01	0.0	0.0	0.0	0
WMa	95.41	0.0	0.0	0.0	0
RCIE	39.92	58.66	26.98	64.56	25
JCIE	81.26	-2.17	67.76	67.79	92
GCIE	52.23	-42.26	11.75	43.87	164
BCIE	30.57	1.15	-46.84	46.87	271

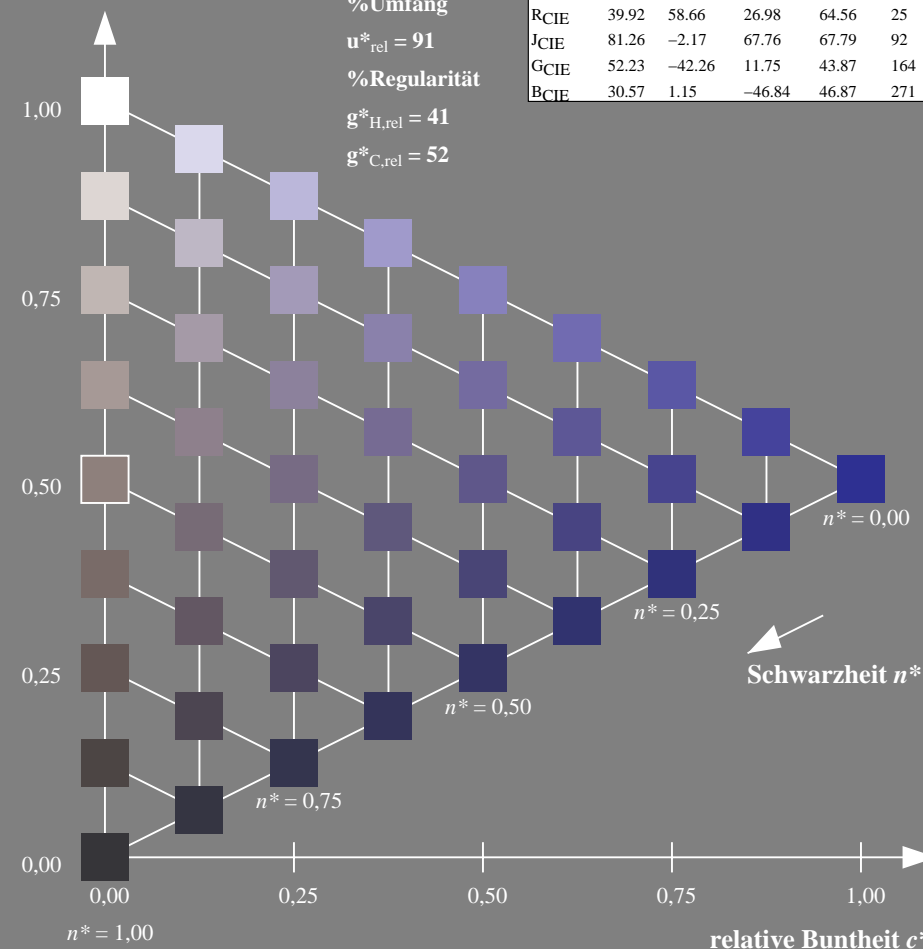
%Umfang

$u^*_{rel} = 91$

%Regularität

$g^*_{H,rel} = 41$

$g^*_{C,rel} = 52$



### Ausgabe: Farbmimetrisches Reflexions-System NCS11

für Buntton  $h^* = lab^*h = 273/360 = 0.757$

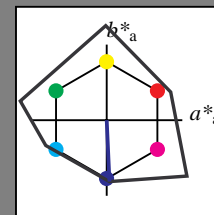
$lab^*tch$  und  $lab^*nch$

D65: Buntton B

LCH\*Ma: 49 81 273

rgb\*Ma: 0.0 0.0 1.0

Dreiecks-Helligkeit  $t^*$



NCS11; adaptierte CIELAB-Daten					
	$L^*=L^*_a$	$a^*_a$	$b^*_a$	$C^*_{ab,a}$	$h^*_{ab,a}$
RMa	47.15	84.64	37.25	92.48	24
JMa	91.37	-1.27	125.03	125.03	91
GMa	63.07	-114.28	25.35	117.06	167
G50BMa	59.47	-80.6	-33.45	87.28	203
BMa	49.01	3.65	-81.19	81.28	273
B50RMa	44.06	106.09	-73.93	129.32	325
NMa	10.99	0.0	0.0	0.0	0
WMa	95.41	0.0	0.0	0.0	0
RCIE	39.92	58.69	27.98	65.01	25
JCIE	81.26	-2.9	71.56	71.62	92
GCIE	52.23	-42.45	13.59	44.59	162
BCIE	30.57	1.35	-46.48	46.51	272

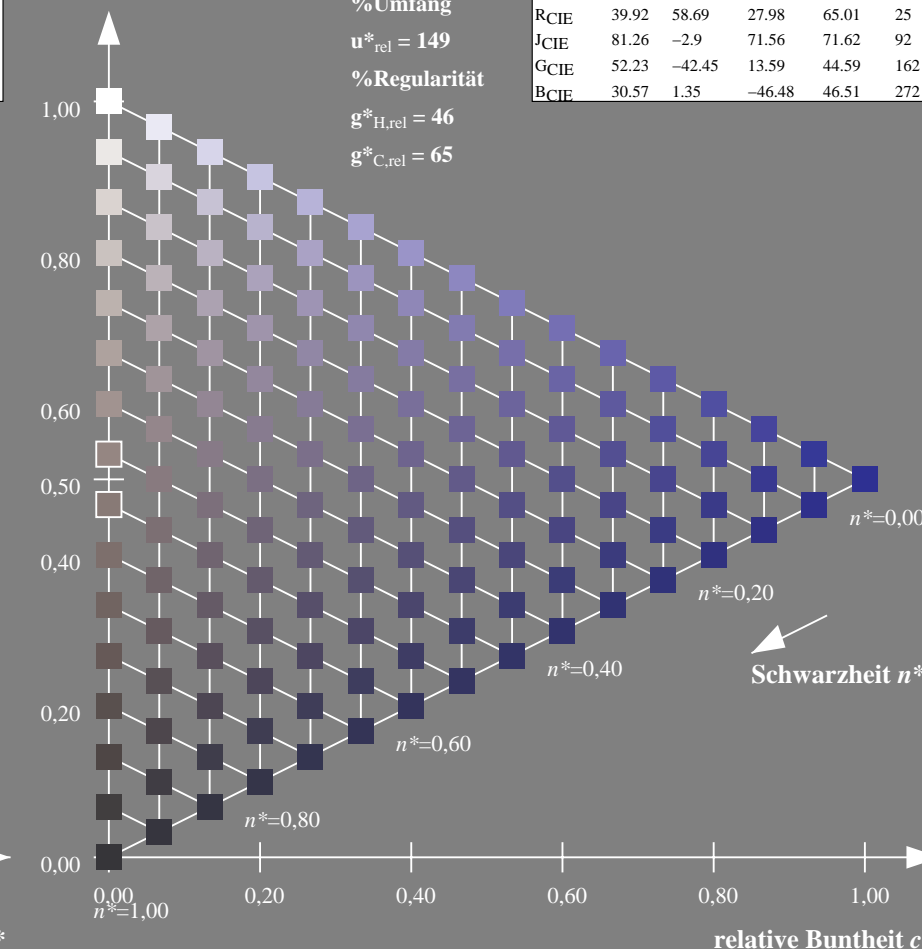
%Umfang

$u^*_{rel} = 149$

%Regularität

$g^*_{H,rel} = 46$

$g^*_{C,rel} = 65$



UG730-7, 9stufige Reihen für konstanten CIELAB Buntton 290/360 = 0.806 (links)

16stufige Reihen für konstanten CIELAB Buntton 273/360 = 0.757 (rechts)

BAM-Prüfvorlage UG73; Farbmimetrik-Systeme MRS18 & NCS11

D65: 9 und 16stufige Farbreihen für 10 Bunttöne

input:  $cmY0^*$  set  $cmYcolor$

output: no change compared to input

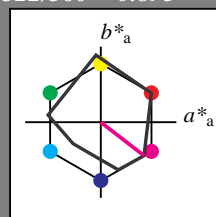
## Eingabe: Farbmimetrisches Reflexions-System MRS18

für Buntton  $h^* = lab^*h = 322/360 = 0.895$  $lab^*tch$  und  $lab^*nch$ 

D65: Buntton B50R

LCH\*Ma: 35 72 322

rgb\*Ma: 1.0 0.0 1.0

Dreiecks-Helligkeit  $t^*$ 

%Umfang

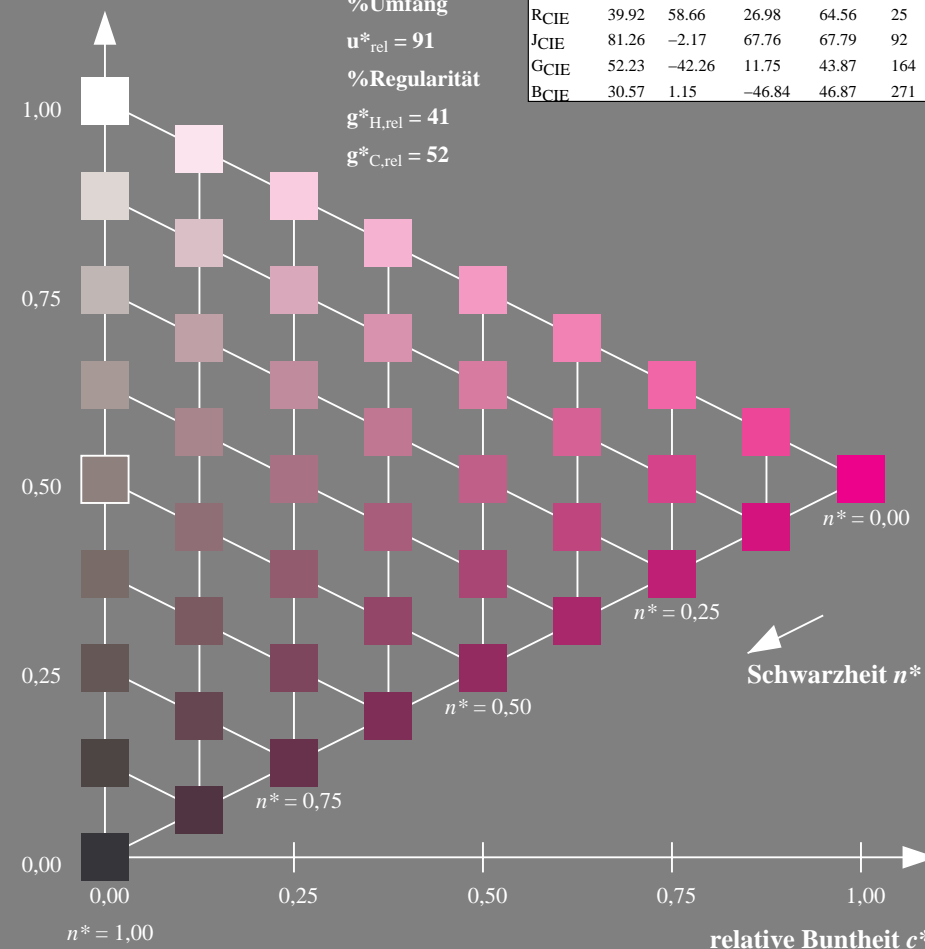
 $u^*_{rel} = 91$ 

%Regularität

 $g^*_{H,rel} = 41$  $g^*_{C,rel} = 52$ 

## MRS18; adaptierte CIELAB-Daten

	$L^*=L^*_a$	$a^*_a$	$b^*_a$	$C^*_{ab,a}$	$h^*_{ab,a}$
RMa	49.63	66.96	38.37	77.18	30
JMa	90.7	-6.36	88.75	88.98	94
GMa	52.11	-69.73	9.44	70.37	172
G50B <sub>Ma</sub>	45.03	-36.57	-28.47	46.36	218
B <sub>Ma</sub>	36.65	23.19	-63.05	67.18	290
B50R <sub>Ma</sub>	34.94	57.17	-44.26	72.31	322
N <sub>Ma</sub>	18.01	0.0	0.0	0.0	0
W <sub>Ma</sub>	95.41	0.0	0.0	0.0	0
RCIE	39.92	58.66	26.98	64.56	25
JCIE	81.26	-2.17	67.76	67.79	92
GCIE	52.23	-42.26	11.75	43.87	164
BCIE	30.57	1.15	-46.84	46.87	271



UG730-7, 9stufige Reihen für konstanten CIELAB Buntton 322/360 = 0.895 (links)

BAM-Prüfvorlage UG73; Farbmimetrik-Systeme MRS18 &amp; NCS11

D65: 9 und 16stufige Farbreihen für 10 Bunttöne

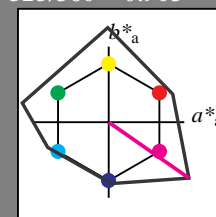
## Ausgabe: Farbmimetrisches Reflexions-System NCS11

für Buntton  $h^* = lab^*h = 325/360 = 0.903$  $lab^*tch$  und  $lab^*nch$ 

D65: Buntton B50R

LCH\*Ma: 44 129 325

rgb\*Ma: 1.0 0.0 1.0

Dreiecks-Helligkeit  $t^*$ 

%Umfang

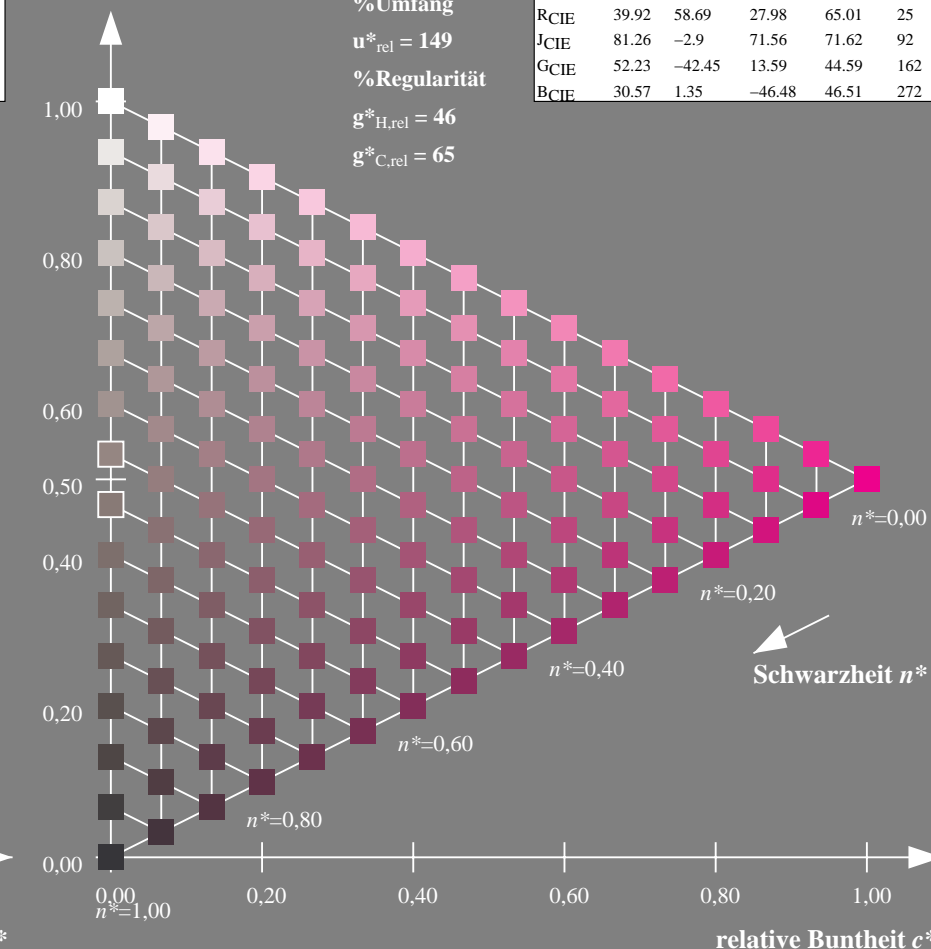
 $u^*_{rel} = 149$ 

%Regularität

 $g^*_{H,rel} = 46$  $g^*_{C,rel} = 65$ 

## NCS11; adaptierte CIELAB-Daten

	$L^*=L^*_a$	$a^*_a$	$b^*_a$	$C^*_{ab,a}$	$h^*_{ab,a}$
RMa	47.15	84.64	37.25	92.48	24
JMa	91.37	-1.27	125.03	125.03	91
GMa	63.07	-114.28	25.35	117.06	167
G50B <sub>Ma</sub>	59.47	-80.6	-33.45	87.28	203
B <sub>Ma</sub>	49.01	3.65	-81.19	81.28	273
B50R <sub>Ma</sub>	44.06	106.09	-73.93	129.32	325
N <sub>Ma</sub>	10.99	0.0	0.0	0.0	0
W <sub>Ma</sub>	95.41	0.0	0.0	0.0	0
RCIE	39.92	58.69	27.98	65.01	25
JCIE	81.26	-2.9	71.56	71.62	92
GCIE	52.23	-42.45	13.59	44.59	162
BCIE	30.57	1.35	-46.48	46.51	272



16stufige Reihen für konstanten CIELAB Buntton 325/360 = 0.903 (rechts)

input:  $cmY0^*$  setcmykcolor

output: no change compared to input

### Eingabe: Farbmimetrisches Reflexions-System MRS18

für Buntton  $h^* = lab^*h = 25/360 = 0.069$

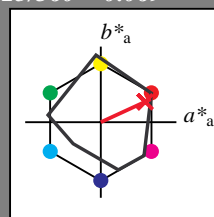
$lab^*tch$  und  $lab^*nch$

D65: Buntton R

LCH\*Ma: 48 73 25

rgb\*Ma: 1.0 0.0 0.1

Dreiecks-Helligkeit  $t^*$



MRS18; adaptierte CIELAB-Daten					
	$L^*=L_a^*$	$a_a^*$	$b_a^*$	$C_{ab,a}^*$	$h_{ab,a}^*$
RMa	49.63	66.96	38.37	77.18	30
JMa	90.7	-6.36	88.75	88.98	94
GMa	52.11	-69.73	9.44	70.37	172
G50B <sub>Ma</sub>	45.03	-36.57	-28.47	46.36	218
B <sub>Ma</sub>	36.65	23.19	-63.05	67.18	290
B50R <sub>Ma</sub>	34.94	57.17	-44.26	72.31	322
N <sub>Ma</sub>	18.01	0.0	0.0	0.0	0
W <sub>Ma</sub>	95.41	0.0	0.0	0.0	0
RCIE	39.92	58.66	26.98	64.56	25
JCIE	81.26	-2.17	67.76	67.79	92
GCIE	52.23	-42.26	11.75	43.87	164
BCIE	30.57	1.15	-46.84	46.87	271

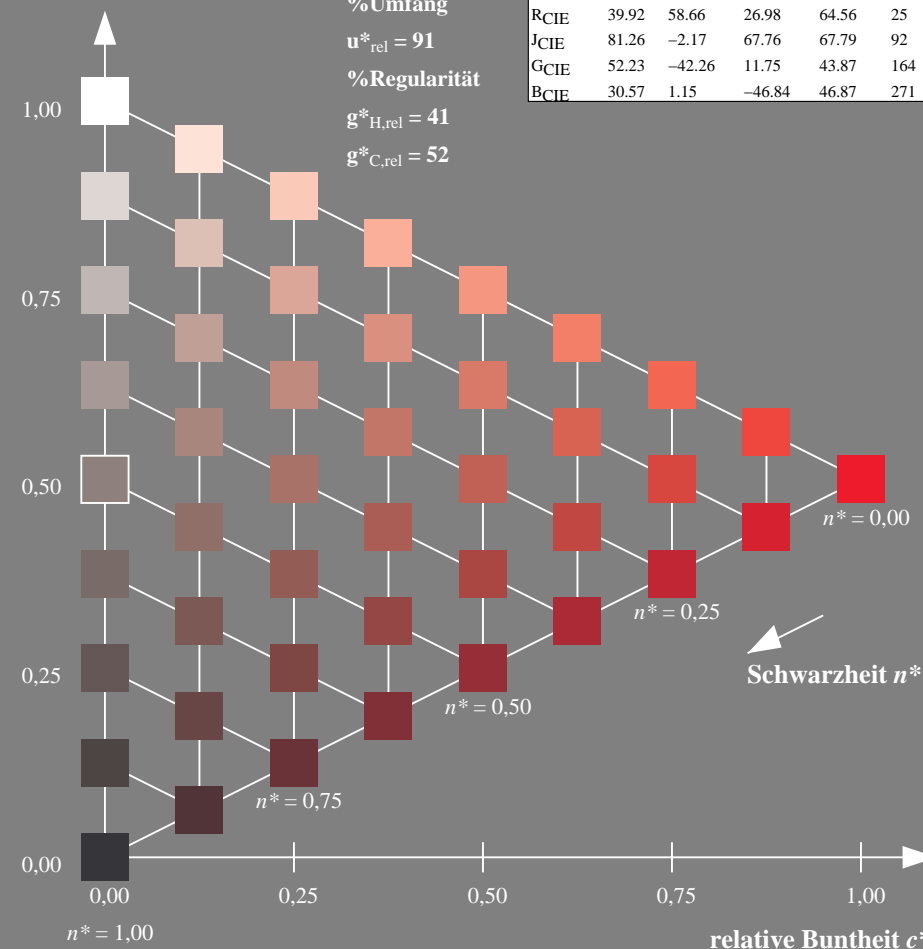
%Umfang

$u_{rel}^* = 91$

%Regularität

$g_{H,rel}^* = 41$

$g_{C,rel}^* = 52$



UG730-7, 9stufige Reihen für konstanten CIELAB Buntton 25/360 = 0.069 (links)

BAM-Prüfvorlage UG73; Farbmimetrik-Systeme MRS18 & NCS11  
D65: 9 und 16stufige Farbreihen für 10 Bunttöne

### Ausgabe: Farbmimetrisches Reflexions-System NCS11

für Buntton  $h^* = lab^*h = 25/360 = 0.071$

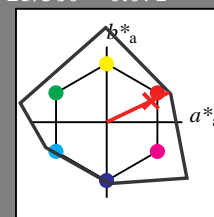
$lab^*tch$  und  $lab^*nch$

D65: Buntton R

LCH\*Ma: 48 91 25

rgb\*Ma: 1.0 0.02 0.0

Dreiecks-Helligkeit  $t^*$



NCS11; adaptierte CIELAB-Daten					
	$L^*=L_a^*$	$a_a^*$	$b_a^*$	$C_{ab,a}^*$	$h_{ab,a}^*$
RMa	47.15	84.64	37.25	92.48	24
JMa	91.37	-1.27	125.03	125.03	91
GMa	63.07	-114.28	25.35	117.06	167
G50B <sub>Ma</sub>	59.47	-80.6	-33.45	87.28	203
B <sub>Ma</sub>	49.01	3.65	-81.19	81.28	273
B50R <sub>Ma</sub>	44.06	106.09	-73.93	129.32	325
N <sub>Ma</sub>	10.99	0.0	0.0	0.0	0
W <sub>Ma</sub>	95.41	0.0	0.0	0.0	0
RCIE	39.92	58.69	27.98	65.01	25
JCIE	81.26	-2.9	71.56	71.62	92
GCIE	52.23	-42.45	13.59	44.59	162
BCIE	30.57	1.35	-46.48	46.51	272

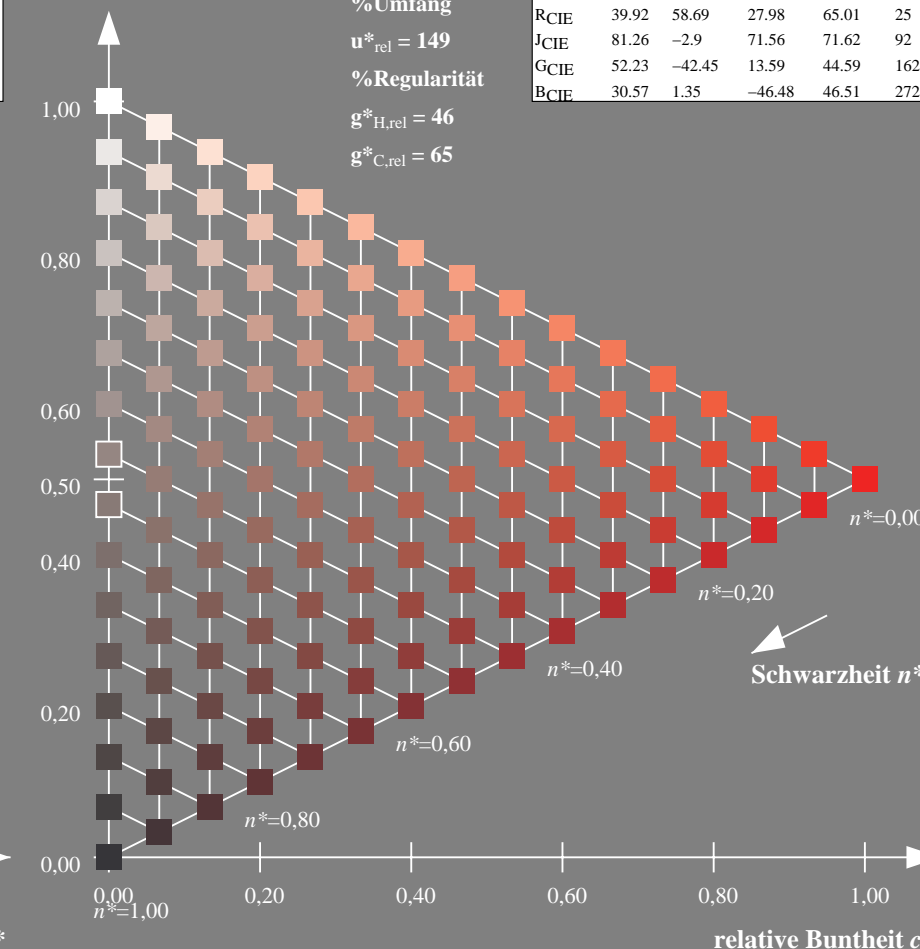
%Umfang

$u_{rel}^* = 149$

%Regularität

$g_{H,rel}^* = 46$

$g_{C,rel}^* = 65$



16stufige Reihen für konstanten CIELAB Buntton 25/360 = 0.071 (rechts)

input:  $cmY0^*$  setcmykcolor  
output: no change compared to input



### Eingabe: Farbmétrisches Reflexions-System MRS18

für Buntton  $h^* = lab^*h = 92/360 = 0.255$

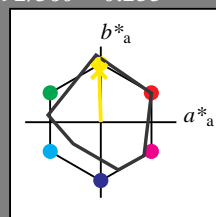
$lab^*tch$  und  $lab^*nch$

D65: Buntton J

LCH\*Ma: 89 86 92

rgb\*Ma: 1.0 0.95 0.0

Dreiecks-Helligkeit  $t^*$



MRS18; adaptierte CIELAB-Daten					
	$L^*=L_a^*$	$a_a^*$	$b_a^*$	$C_{ab,a}^*$	$h_{ab,a}^*$
RMa	49.63	66.96	38.37	77.18	30
JMa	90.7	-6.36	88.75	88.98	94
GMa	52.11	-69.73	9.44	70.37	172
G50B <sub>Ma</sub>	45.03	-36.57	-28.47	46.36	218
B <sub>Ma</sub>	36.65	23.19	-63.05	67.18	290
B50R <sub>Ma</sub>	34.94	57.17	-44.26	72.31	322
N <sub>Ma</sub>	18.01	0.0	0.0	0.0	0
W <sub>Ma</sub>	95.41	0.0	0.0	0.0	0
RCIE	39.92	58.66	26.98	64.56	25
JCIE	81.26	-2.17	67.76	67.79	92
GCIE	52.23	-42.26	11.75	43.87	164
BCIE	30.57	1.15	-46.84	46.87	271

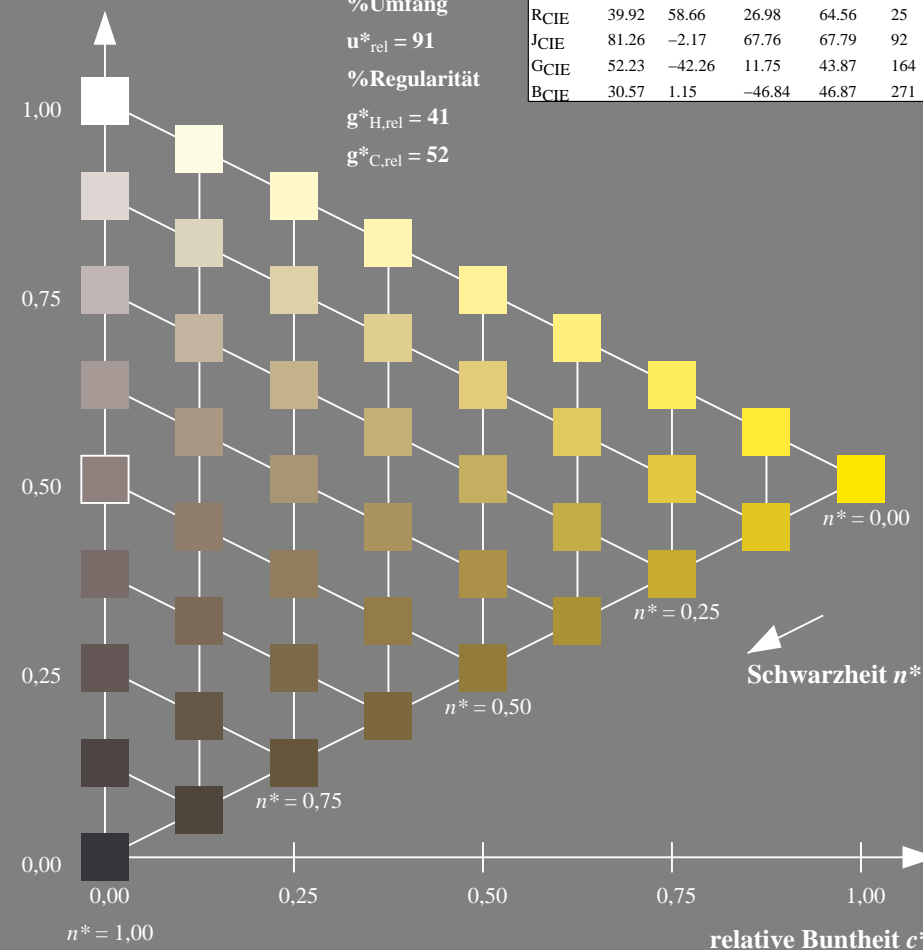
%Umfang

$u_{rel}^* = 91$

%Regularität

$g_{H,rel}^* = 41$

$g_{C,rel}^* = 52$



UG730-7, 9stufige Reihen für konstanten CIELAB Buntton 92/360 = 0.255 (links)

BAM-Prüfvorlage UG73; Farbmétrik-Systeme MRS18 & NCS11  
D65: 9 und 16stufige Farbreihen für 10 Bunttöne

### Ausgabe: Farbmétrisches Reflexions-System NCS11

für Buntton  $h^* = lab^*h = 92/360 = 0.256$

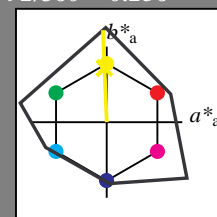
$lab^*tch$  und  $lab^*nch$

D65: Buntton J

LCH\*Ma: 90 122 92

rgb\*Ma: 0.97 1.0 0.0

Dreiecks-Helligkeit  $t^*$



NCS11; adaptierte CIELAB-Daten					
	$L^*=L_a^*$	$a_a^*$	$b_a^*$	$C_{ab,a}^*$	$h_{ab,a}^*$
RMa	47.15	84.64	37.25	92.48	24
JMa	91.37	-1.27	125.03	125.03	91
GMa	63.07	-114.28	25.35	117.06	167
G50B <sub>Ma</sub>	59.47	-80.6	-33.45	87.28	203
B <sub>Ma</sub>	49.01	3.65	-81.19	81.28	273
B50R <sub>Ma</sub>	44.06	106.09	-73.93	129.32	325
N <sub>Ma</sub>	10.99	0.0	0.0	0.0	0
W <sub>Ma</sub>	95.41	0.0	0.0	0.0	0
RCIE	39.92	58.69	27.98	65.01	25
JCIE	81.26	-2.9	71.56	71.62	92
GCIE	52.23	-42.45	13.59	44.59	162
BCIE	30.57	1.35	-46.48	46.51	272

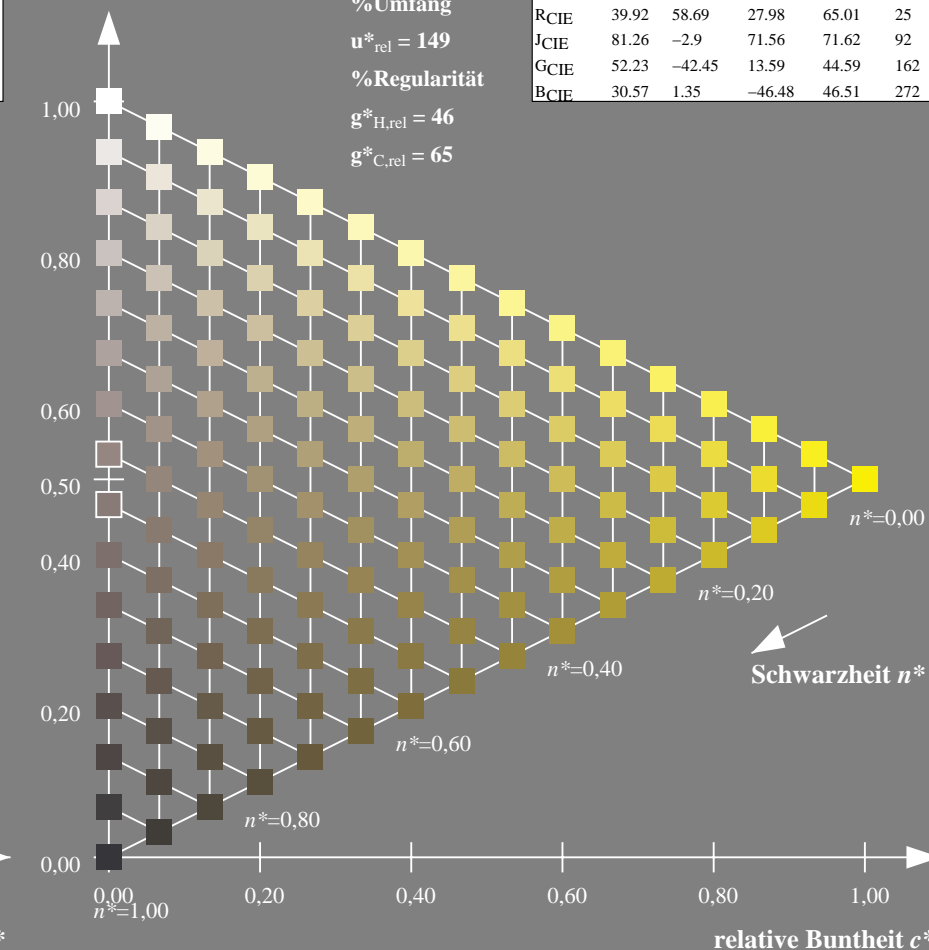
%Umfang

$u_{rel}^* = 149$

%Regularität

$g_{H,rel}^* = 46$

$g_{C,rel}^* = 65$



16stufige Reihen für konstanten CIELAB Buntton 92/360 = 0.256 (rechts)

input:  $cmY0^* setcmykcolor$   
output: no change compared to input



### Eingabe: Farbmétrisches Reflexions-System MRS18

für Buntton  $h^* = lab^*h = 164/360 = 0.457$

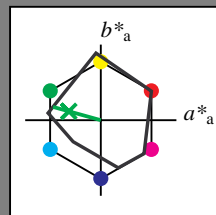
$lab^*tch$  und  $lab^*nch$

D65: Buntton G

LCH\*Ma: 56 66 164

rgb\*Ma: 0.1 1.0 0.0

Dreiecks-Helligkeit  $t^*$



MRS18; adaptierte CIELAB-Daten					
	$L^*=L_a^*$	$a_a^*$	$b_a^*$	$C_{ab,a}^*$	$h_{ab,a}^*$
RMa	49.63	66.96	38.37	77.18	30
JMa	90.7	-6.36	88.75	88.98	94
GMa	52.11	-69.73	9.44	70.37	172
G50B <sub>Ma</sub>	45.03	-36.57	-28.47	46.36	218
B <sub>Ma</sub>	36.65	23.19	-63.05	67.18	290
B50R <sub>Ma</sub>	34.94	57.17	-44.26	72.31	322
N <sub>Ma</sub>	18.01	0.0	0.0	0.0	0
W <sub>Ma</sub>	95.41	0.0	0.0	0.0	0
RCIE	39.92	58.66	26.98	64.56	25
JCIE	81.26	-2.17	67.76	67.79	92
GCIE	52.23	-42.26	11.75	43.87	164
BCIE	30.57	1.15	-46.84	46.87	271

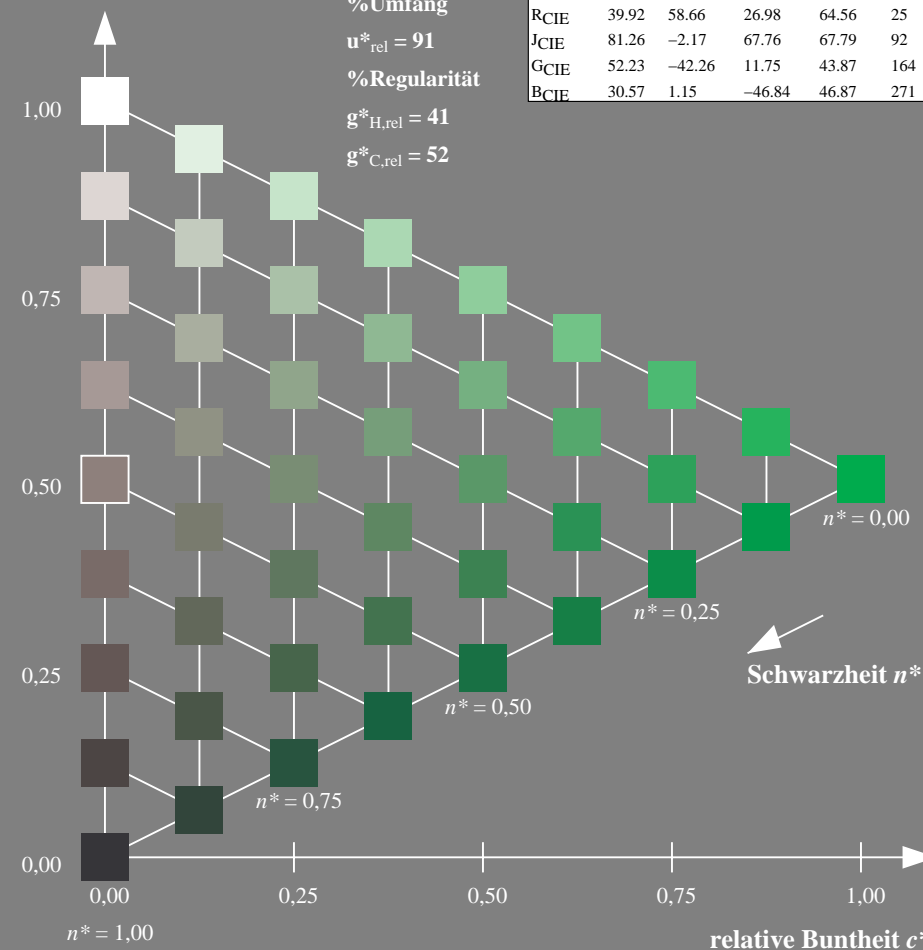
%Umfang

$u_{rel}^* = 91$

%Regularität

$g_{H,rel}^* = 41$

$g_{C,rel}^* = 52$



UG730-7, 9stufige Reihen für konstanten CIELAB Buntton 164/360 = 0.457 (links)

BAM-Prüfvorlage UG73; Farbmétrik-Systeme MRS18 & NCS11  
D65: 9 und 16stufige Farbreihen für 10 Bunttöne

### Ausgabe: Farbmétrisches Reflexions-System NCS11

für Buntton  $h^* = lab^*h = 162/360 = 0.451$

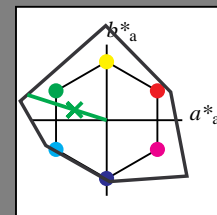
$lab^*tch$  und  $lab^*nch$

D65: Buntton G

LCH\*Ma: 65 110 162

rgb\*Ma: 0.08 1.0 0.0

Dreiecks-Helligkeit  $t^*$



NCS11; adaptierte CIELAB-Daten					
	$L^*=L_a^*$	$a_a^*$	$b_a^*$	$C_{ab,a}^*$	$h_{ab,a}^*$
RMa	47.15	84.64	37.25	92.48	24
JMa	91.37	-1.27	125.03	125.03	91
GMa	63.07	-114.28	25.35	117.06	167
G50B <sub>Ma</sub>	59.47	-80.6	-33.45	87.28	203
B <sub>Ma</sub>	49.01	3.65	-81.19	81.28	273
B50R <sub>Ma</sub>	44.06	106.09	-73.93	129.32	325
N <sub>Ma</sub>	10.99	0.0	0.0	0.0	0
W <sub>Ma</sub>	95.41	0.0	0.0	0.0	0
RCIE	39.92	58.69	27.98	65.01	25
JCIE	81.26	-2.9	71.56	71.62	92
GCIE	52.23	-42.45	13.59	44.59	162
BCIE	30.57	1.35	-46.48	46.51	272

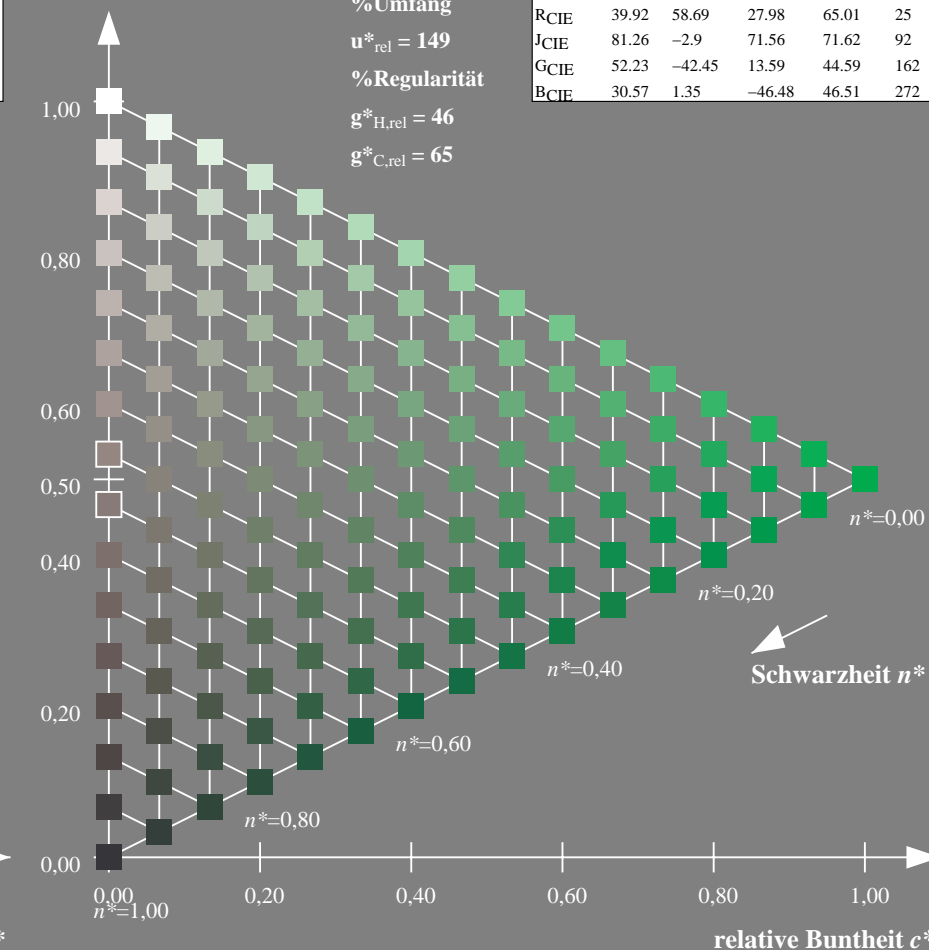
%Umfang

$u_{rel}^* = 149$

%Regularität

$g_{H,rel}^* = 46$

$g_{C,rel}^* = 65$



16stufige Reihen für konstanten CIELAB Buntton 162/360 = 0.451 (rechts)

input:  $cmy0^*$  setcmykcolor  
output: no change compared to input

### Eingabe: Farbmimetrisches Reflexions-System MRS18

für Buntton  $h^* = lab^*h = 271/360 = 0.754$

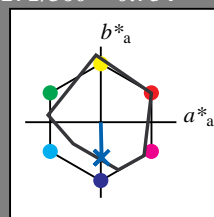
$lab^*tch$  und  $lab^*nch$

D65: Buntton B

LCH\*Ma: 40 50 271

rgb\*Ma: 0.0 0.37 1.0

Dreiecks-Helligkeit  $t^*$



MRS18; adaptierte CIELAB-Daten					
	$L^*=L_a^*$	$a_a^*$	$b_a^*$	$C_{ab,a}^*$	$h_{ab,a}^*$
RMa	49.63	66.96	38.37	77.18	30
JMa	90.7	-6.36	88.75	88.98	94
GMa	52.11	-69.73	9.44	70.37	172
G50B <sub>Ma</sub>	45.03	-36.57	-28.47	46.36	218
B <sub>Ma</sub>	36.65	23.19	-63.05	67.18	290
B50R <sub>Ma</sub>	34.94	57.17	-44.26	72.31	322
N <sub>Ma</sub>	18.01	0.0	0.0	0.0	0
W <sub>Ma</sub>	95.41	0.0	0.0	0.0	0
RCIE	39.92	58.66	26.98	64.56	25
JCIE	81.26	-2.17	67.76	67.79	92
GCIE	52.23	-42.26	11.75	43.87	164
BCIE	30.57	1.15	-46.84	46.87	271

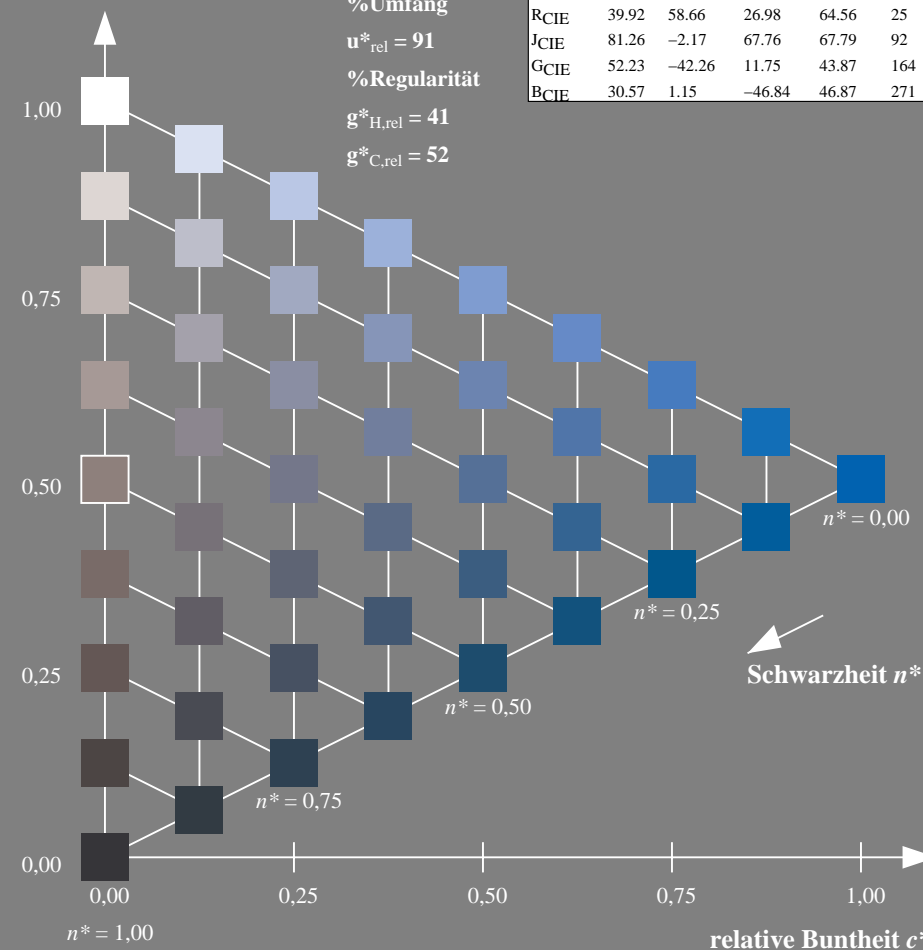
%Umfang

$u_{rel}^* = 91$

%Regularität

$g_{H,rel}^* = 41$

$g_{C,rel}^* = 52$



UG730-7, 9stufige Reihen für konstanten CIELAB Buntton 271/360 = 0.754 (links)

BAM-Prüfvorlage UG73; Farbmimetrik-Systeme MRS18 & NCS11  
D65: 9 und 16stufige Farbreihen für 10 Bunttöne

### Ausgabe: Farbmimetrisches Reflexions-System NCS11

für Buntton  $h^* = lab^*h = 272/360 = 0.755$

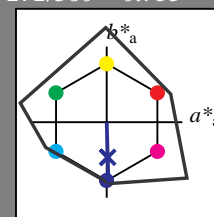
$lab^*tch$  und  $lab^*nch$

D65: Buntton B

LCH\*Ma: 49 80 272

rgb\*Ma: 0.0 0.02 1.0

Dreiecks-Helligkeit  $t^*$



NCS11; adaptierte CIELAB-Daten					
	$L^*=L_a^*$	$a_a^*$	$b_a^*$	$C_{ab,a}^*$	$h_{ab,a}^*$
RMa	47.15	84.64	37.25	92.48	24
JMa	91.37	-1.27	125.03	125.03	91
GMa	63.07	-114.28	25.35	117.06	167
G50B <sub>Ma</sub>	59.47	-80.6	-33.45	87.28	203
B <sub>Ma</sub>	49.01	3.65	-81.19	81.28	273
B50R <sub>Ma</sub>	44.06	106.09	-73.93	129.32	325
N <sub>Ma</sub>	10.99	0.0	0.0	0.0	0
W <sub>Ma</sub>	95.41	0.0	0.0	0.0	0
RCIE	39.92	58.69	27.98	65.01	25
JCIE	81.26	-2.9	71.56	71.62	92
GCIE	52.23	-42.45	13.59	44.59	162
BCIE	30.57	1.35	-46.48	46.51	272

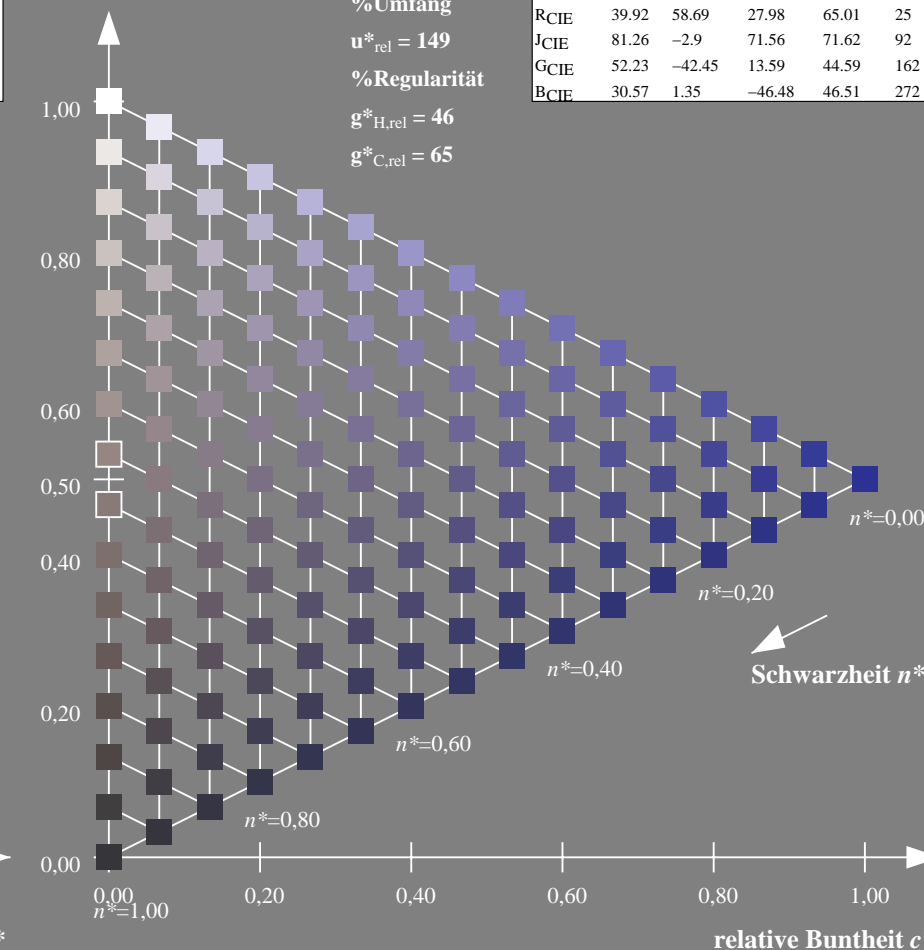
%Umfang

$u_{rel}^* = 149$

%Regularität

$g_{H,rel}^* = 46$

$g_{C,rel}^* = 65$



16stufige Reihen für konstanten CIELAB Buntton 272/360 = 0.755 (rechts)

input:  $cmY0^*$  setcmykcolor  
output: no change compared to input